

НЕЛИНЕЙНЫЕ СВЧ-СВОЙСТВА БЛОЧНЫХ ЭПИТАКСИАЛЬНЫХ ПЛЕНОК $\text{YBa}_2\text{Cu}_3\text{O}_{7-x}$ В БЛИЗИ ТЕМПЕРАТУРЫ СВЕРХПРОВОДЯЩЕГО ПЕРЕХОДА

C. B. Барышев^a, A. B. Бобыль^a, B. B. Курин^b,
Ю. Н. Ноздрин^b, Е. Е. Пестов^b, Р. А. Сурик^a*

^a Физико-технический институт им. А. Ф. Иоффе Российской академии наук
194021, Санкт-Петербург, Россия

^b Институт физики микроструктур Российской академии наук
603950, ГСП-105, Нижний Новгород, Россия

Проведены исследования структуры и локального нелинейного СВЧ-отклика блочных пленок $\text{YBa}_2\text{Cu}_3\text{O}_{7-x}$, а также микромостиков этих пленок методом низкотемпературной сканирующей микроскопии. Обнаружена корреляция полуширины температурной зависимости мощности третьей гармоники W_{TH} и кривой напряжения, индуцируемого электронным зондом $WEBIV$, для среднего размера блока. Предложена теоретическая модель, демонстрирующая, что при больших размерах блоков нелинейный СВЧ-отклик определяется внутриблочным пиннингом абрикосовых вихрей, а при уменьшении их размера в отклике появляется дополнительный вклад, связанный с пиннингом гипервихрей на джозефсонской сетке межблочных границ.

PACS: 74.25.Nf, 74.25.Qt, 74.78.Bz

Несмотря на успешное применение пленок высокотемпературных сверхпроводников (ВТСП) в радиофизике [1], при высоких уровнях мощности СВЧ-сигнала нелинейность высокочастотного отклика ВТСП-пленок приводит к интермодуляционным искажениям сигнала [2], генерации высших гармоник основной частоты [3] и росту СВЧ-потерь [4], что ограничивает применение сверхпроводниковых СВЧ-устройств. Известно, что нелинейные СВЧ-свойства ВТСП-пленок могут быть обусловлены как собственными свойствами сверхпроводника [2, 5, 6], так и реальной микроструктурой образца [4, 7–9]. Однако при температурах, близких к критической температуре T_c , все величины критических токов, характеризующих различные механизмы нелинейности, стремятся к нулю и многие из них могут давать свой вклад в полный нелинейный отклик. Поэтому вопрос о природе нелинейного ВТСП-отклика в окрестности T_c до сих пор остается открытым.

В настоящей работе проведены исследования влияния микроструктуры пленок $\text{YBa}_2\text{Cu}_3\text{O}_{7-x}$ на их нелинейные СВЧ-свойства и электрофизические параметры. Установлена корреляция между средним размером блоков, из которых состоят пленки, и полуширинами максимумов температурных зависимостей мощности третьей гармоники и напряжения, индуцированного электронным пучком ($EBIV$ -сигнал). В рамках модели эффективной среды показано, что при больших размерах блоков нелинейный СВЧ-отклик определяется внутриблочным пиннингом абрикосовых вихрей, а при уменьшении их размеров в отклике появляется дополнительный вклад, связанный с пиннингом гипервихрей на джозефсонской сетке межблочных границ.

В работе экспериментально исследовалась серия эпитаксиальных *c*-ориентированных пленок $\text{YBa}_2\text{Cu}_3\text{O}_{7-x}$ толщиной $d = 0.7\text{--}0.9$ мкм, выращенных на подложках LaAlO_3 путем магнетронного распыления мишеней составов (1 : 2 : 3) и (2 : 3 : 5) в смеси газов Ar/O при давлении 40 Па и температуре подложки 750 °C. Температура перехода

*E-mail: lolapalooza@mail.ru

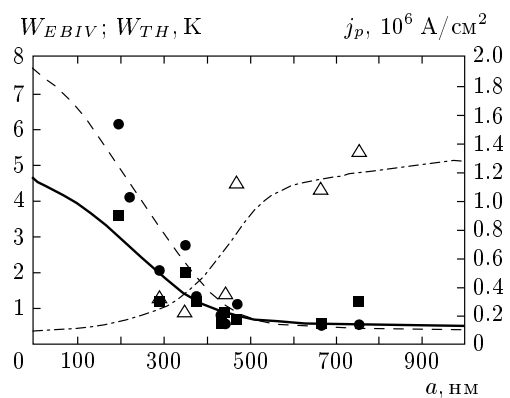


Рис. 1. Зависимости полуширины пика сигнала третьей гармоники W_{TH} (кружки), EBIV-сигнала W_{EBIV} (квадраты) и тока пиннинга j_p (треугольники) от среднего размера кристаллита a для эпитетаксиальных пленок $\text{YBa}_2\text{Cu}_3\text{O}_{7-x}$. Линиями показаны зависимости $W(a)$ и $j_p(a)$, рассчитанные с помощью модели эффективной среды для нелинейного отклика W_{TH} (штриховая кривая), сигнала EBIV (сплошная кривая) и тока пиннинга (штрихпунктирная кривая)

пленок в сверхпроводящее состояние варьировалась в пределах 80–92 К, ширина перехода — от 0.15 до 3.6 К. Пленки $\text{YBa}_2\text{Cu}_3\text{O}_{7-x}$ имели плотность критического тока пиннинга j_p (77 К) $\approx 10^5$ – 10^6 A/cm^2 .

Как показали исследования, выполненные с помощью электронной просвечивающей микроскопии, пленки $\text{YBa}_2\text{Cu}_3\text{O}_{7-x}$ имеют блочную структуру, т. е. эти пленки состоят из блоков с малоугловыми границами (межблочным пространством). Для определения размеров блоков регистрировались дифракционные кривые качания дифрактометром фирмы RIGAKU ($D_{max} = B/RC$) с использованием специальной схемы коллимации, уменьшающей расходность первичного пучка рентгеновского излучения ($\lambda_{\text{Cu}} = 1.54183 \text{ \AA}$) в режиме θ - 2θ -сканирования. После обработки данных рентгеноструктурного анализа по соответствующим формулам в приближении блочно-мозаичной модели были получены размеры области когерентного рассеяния (ОКР) для каждого из образцов, значения которых оказались в пределах от 0.2 до 0.8 мкм. Под средним размером одиночного блока a далее подразумевается средний размер ОКР.

Для поиска корреляции между структурными и электрофизическими параметрами были использованы две независимые зондовые методики. Метод ближнепольной нелинейной СВЧ-микроскопии основан на регистрации нелинейного СВЧ-отклика зон-

дом индуктивного типа — металлической проволокой длиной 1 мм и диаметром 50 мкм, соединяющей внешний и внутренний проводники коаксиального кабеля [10, 11]. Уровень падающей мощности на частоте первой гармоники ($\nu = 472 \text{ МГц}$) был равен 100 мВт. С помощью данной методики при температурах, близких к T_c , измерялись полуширины W_{TH} температурной зависимости третьей гармоники $P_{3\omega}(T)$ и строилась зависимость полуширины от среднего размера блока, $W_{TH}(a)$ (рис. 1, кружки). Вторая методика низкотемпературной сканирующей микроскопии [12–14] позволяет определять как температурную зависимость локального сопротивления $\rho_i(T)$ при помощи функции $f(T_{ci})$ — EBIV-сигнала одиночного фрагмента пленки, так и строить функцию $F(T_{ci})$ распределения фрагментов по критической температуре. Размер фрагмента составляет примерно 4 мкм и определяется размером зонда и зоной теплового разогрева. Поскольку температурная зависимость интегрального сопротивления сверхпроводящих полосок может отличаться от поведения сопротивления локальных фрагментов, в случае низкотемпературной сканирующей микроскопии для получения параметра W_{EBIV} (рис. 1, квадраты) использовалась специальная процедура свертки [15]. Подобное совмещение таких методик (рис. 2) дает информацию о свойствах сверхпроводника в очень широком температурном диапазоне, поскольку области регистрации сигналов используемых зондовых методик лежат в различных температурных диапазонах. При этом нелинейный СВЧ-отклик пленок $\text{YBa}_2\text{Cu}_3\text{O}_{7-x}$ появляется в области температур T_{c0} , когда величина удельного сопротивления $\rho(T)$ образца обращается в нуль [10].

Рассмотрим феноменологическую модель двухфазного сверхпроводника, состоящего из цилиндрических сверхпроводящих гранул, помещенных во вторую среду, которую будем называть матрицей. При этом считаем, что первая фаза описывает сверхпроводящие свойства блока, а вторая — наличие межблочного пространства в сверхпроводящей пленке. В частности, такой подход позволяет моделировать также среду сверхпроводящих гранул, соединенных между собой джозефсоновскими связями [9].

Найдем вольт-амперную характеристику двухфазной среды $\langle E \rangle(\langle j \rangle)$, содержащей в себе фазу цилиндрических включений с радиусом a и объемной концентрацией $p = V_1/V$ (где V_1 — общий объем всех гранул, а V — объем сверхпроводника), используя приближение эффективной среды [14, 16], которое справедливо при любых объемных концентраци-

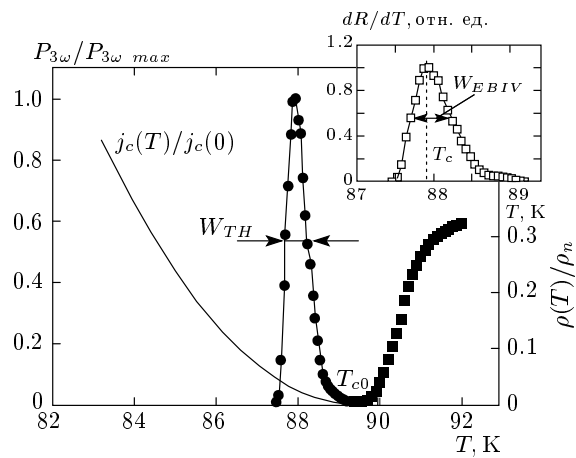


Рис. 2. Температурные зависимости мощности третьей гармоники $P_{3\omega}(T)$, нормированной на свое максимальное значение $P_{3\omega \max}$, сопротивления мостика $\rho(T)$, нормированного на сопротивление нормальной фазы ($T = 300$ К), и эффективного критического тока $j_c(T)$, нормированного на значение критического тока при $T = 0$, для пленки $\text{YBa}_2\text{Cu}_3\text{O}_{7-x}$. На вставке показана температурная зависимость $EBIV$ -сигнала (для другой пленки), нормированная на свое максимальное значение. На рисунке также указана температура T_{c0} перехода в СП-состояние и критическая температура T_c перехода в СП-состояние в $EBIV$ -методике. Отмечены основные параметры, использующиеся в работе: полуширины температурных зависимостей сигнала третьей гармоники W_{TH} и $EBIV$ -сигнала $WEBIV$

ях фазы включений p :

$$p \frac{\langle \rho \rangle - \rho_1(j_1, T)}{\langle \rho \rangle + \rho_1(j_1, T)} + (1-p) \frac{\langle \rho \rangle - \rho_2(j_2, T)}{\langle \rho \rangle + \rho_2(j_2, T)} = 0, \quad (1)$$

где $\langle \rho \rangle = \langle E \rangle / \langle j \rangle$ удельное сопротивление эффективной среды, а $\rho_1 = E_1(j_1, T) / j_1$, $\rho_2 = E_2(j_2, T) / j_2$ — удельные сопротивления первой и второй сред. В качестве модельной зависимости возьмем вольт-амперную характеристику безгистерезисного джозефсоновского контакта [17]:

$$\begin{aligned} E_{1,2}(j_{1,2}, T) &= \\ &= \rho_{n1,2} \text{sign}(j_{1,2}) \sqrt{j_{1,2}^2 - j_{c1,2}^2(T)} \frac{j_{1,2}}{j_{1,2}}, \end{aligned} \quad (2)$$

где $j_{c1}(T)$, $j_{c2}(T)$ — критические плотности токов, ρ_{n1} , ρ_{n2} — удельные сопротивления соответствующих фаз. Будем полагать, что величины эффективной плотности тока $\langle j \rangle$ и эффективной напряженности электрического поля $\langle E \rangle$ в сверхпроводнике, соответственно, равны

$$\langle j \rangle = pj_1 + (1-p)j_2, \quad (3)$$

$$\langle E \rangle = pE_1(j_1, T) + (1-p)E_2(j_2, T), \quad (4)$$

где j_1 , E_1 и j_2 , E_2 — величины плотности токов и электрических полей в блоках и матрице, соответственно. Решив численно систему уравнений (1)–(4) и считая, что зависимость объемной концентрации p от размера блока a задается как

$$p(a) = \left(\frac{a}{a+d} \right)^2$$

(где d — некоторая константа), определяем $\langle E \rangle$ в сверхпроводнике и вольт-амперную характеристику композитной среды $\langle E \rangle(\langle j \rangle)$. Результаты численного расчета ширины пика нелинейного отклика W_{TH} (штриховая кривая) и ширины $EBIV$ -сигнала $WEBIV$ (сплошная кривая) от среднего размера блока a показаны на рис. 1. Видно, что при увеличении размера блока a , а следовательно, и объема включений ($p \sim a^2$) полуширины W_{TH} и $WEBIV$, т. е. ширина сверхпроводящего перехода $\rho(T)$, уменьшаются. Результаты расчетов показали, что это возможно в том случае, когда среда состоит из монокристаллов (блоков), помещенных в сверхпроводящую матрицу с подавленным критическим током: $j_{c1}(T) > j_{c2}(T)$. В этом случае при возрастании объема монокристаллической (блочной) фазы в сверхпроводнике ток начинает концентрироваться в блоках, что приводит к возрастанию эффективной плотности тока сверхпроводника $\langle j_c \rangle$.

Отметим, что уширение температурной зависимости мощности третьей гармоники и $EBIV$ -сигнала связывается нами в основном с перераспределением тока между двумя фазами. Однако существует еще один механизм уширения, влияющий на ход сопротивления и генерацию третьей гармоники — в блоках существует разброс по критической температуре перехода в сверхпроводящее состояние. В этом случае существование нескольких фаз с различными температурами перехода приводит к уширению температурной зависимости $\langle \rho \rangle(T)$ и даже к появлению на ней дополнительных ступеней и, соответственно, дополнительных пиков на кривой $EBIV$ -сигнала или на температурной зависимости нелинейного отклика. В наших экспериментах на зависимостях нелинейного отклика и кривых $EBIV$ -сигнала от температуры наблюдался только один максимум. Кроме того, рентгеноструктурные исследования показали, что соединение YBCO, содержащееся в блоках, имеет структуру 1–2–3, а сверхпроводящих фаз YBCO с другим катионным

составом (например, фазы YBCO со структурами 1–2–4 или 2–4–7) или с существенно различным содержанием кислорода [18] не было обнаружено. В этом случае разброс по критической температуре в блоках и матрице может быть обусловлен существованием микродеформаций напряжения $\delta\varepsilon$ (разброс значений параметра c) и приводить к некоторому уширению температурных зависимостей сигналов. Этот механизм должен влиять на подавление или увеличение критического тока в блоках, т. е. задавать дисперсию

$$j_c(T) = j_c^0(1 - t_i)^{\alpha, \beta}$$

и приводить к отклонению положения экспериментальных точек от теоретических зависимостей. Однако экспериментальные исследования EBIV-сигнала показали, что разброс критических температур в образцах составил 0.2 К при больших размерах блоков и 0.5 К для малых размеров блоков, что меньше величин уширения сигналов, обнаруженных нами в эксперименте. Поэтому мы считаем, что основным механизмом уширения температурных зависимостей мощности третьей гармоники и EBIV-сигнала является перераспределение тока в двухфазной системе.

Для экспериментальной проверки предложенной выше модели двухфазного сверхпроводника был дополнительно измерен критический ток j_p , обусловленный пиннингом вихрей в образце, при различных размерах блоков a (рис. 1, треугольники). Величина j_p определялась в рамках модели Бина по остаточной намагниченности пленки, измеренной бесконтактным методом [11] с помощью датчика Холла. Эти эксперименты показали хорошее качественное и количественное согласие с моделью двухфазного сверхпроводника. А именно, при увеличении a наблюдалось уменьшение ширины температурных зависимостей сигналов W_{TH} и $WEBIV$ за счет возрастания величины плотности критического тока пиннинга j_p . При этом значения критических токов пиннинга при больших ($j_{p1}(77 \text{ K}) = 10^6 \text{ A/cm}^2$) и малых ($j_{p2}(77 \text{ K}) = 10^5 \text{ A/cm}^2$) значениях размеров гранул хорошо согласуются с величинами критических токов двух сред, $j_{c1}(77 \text{ K}) = 3 \cdot 10^6 \text{ A/cm}^2$ и $j_{c2}(77 \text{ K}) = 10^5 \text{ A/cm}^2$, полученных из модели двухфазного сверхпроводника. Таким образом, исходя из феноменологической модели сверхпроводника можно сделать вывод о том, что при больших размерах блоков нелинейный СВЧ-отклик определяется внутриблочным пиннингом абрикосовых вихрей, а при уменьшении их размеров в отклике появляется дополнительный вклад, связанный с пиннингом ги-

первихрей на джозефсоновской сетке межблочных границ.

Для ответа на вопрос о характере проникновения магнитного поля в эпитаксиальную пленку $\text{YBa}_2\text{Cu}_3\text{O}_{7-x}$ можно воспользоваться фазовой диаграммой смешанного состояния блочных сверхпроводников [19]. Отметим, что в нашем случае вихри в образце могут рождаться только СВЧ-зондом. При этом, если $a \approx 800 \text{ nm}$, то высокочастотное магнитное поле проникает в объем блоков в виде абрикосовых вихрей, поскольку магнитное поле, создаваемое СВЧ-зондом вблизи поверхности пленки, составляет величину порядка $H_{rf} = 14 \text{ E}$ и превышает первое критическое поле кристаллитов (блоков) $H_{c1}(91 \text{ K}) = 10 \text{ E}$. В другом предельном случае, когда a порядка лондоновской глубины проникновения $\lambda_L(77 \text{ K}) \approx 200 \text{ nm}$, H_{rf} проникает в джозефсоновские связи в виде гипервихрей, так как $H_{rf} < H_{c1}(77 \text{ K}) = 150 \text{ E}$. В то же время, поскольку для характерных параметров пленок ($\lambda_J(77 \text{ K}) = 0.4 \text{ мкм}$, $j_c(77 \text{ K}) = 5 \cdot 10^5 \text{ A/cm}^2$) H_{rf} меньше первого критического поля джозефсоновского перехода $H_{c1}^J(77 \text{ K}) = 25 \text{ E}$ [20], в этом случае джозефсоновские вихри в пленке $\text{YBa}_2\text{Cu}_3\text{O}_{7-x}$ не возникают.

Также следует отметить, что из зависимостей на рис. 1 следует, что увеличение размера блока в 3 раза приводит к сужению полуширины температурной зависимости сигнала третьей гармоники W_{TH} , кривых EBIV $WEBIV$ и росту критического тока сверхпроводника j_c приблизительно в 10 раз, уменьшая тем самым СВЧ-потери и коэффициент нелинейности

$$\alpha(T) \sim \frac{1}{j_c(T)^2}$$

[4, 11], соответственно, в 10 и 100 раз. Это приводит к снижению нелинейных эффектов в пленках $\text{YBa}_2\text{Cu}_3\text{O}_{7-x}$ и увеличивает температурный диапазон применения ВТСП-структур.

Таким образом, в настоящей работе исследовано влияние среднего размера блока на нелинейные СВЧ-свойства и электрофизические параметры эпитаксиальных пленок $\text{YBa}_2\text{Cu}_3\text{O}_{7-x}$. Экспериментально обнаружена корреляция полуширины температурной зависимости мощности третьей гармоники и кривых EBIV со средним размером блока. На основе феноменологической модели двухфазного сверхпроводника разделены вклады в нелинейном СВЧ-отклике, обусловленные внутриблочным и межблочным пиннингом вихрей, при температурах, близких к T_c .

Работа выполнена при финансовой поддержке РФФИ (грант № 06-02-16592), МНТЦ 2920.

ЛИТЕРАТУРА

1. C. Collado, J. Mateu et al., IEEE Trans. Appl. Supercond. **15**, 992 (2005).
2. T. Dahm and D. J. Scalapino, Phys. Rev. B **60**, 13125 (1999).
3. C. Wiker, Z.-Y. Shen et al., IEEE Trans. Appl. Supercond. **5**, 1665 (1995).
4. H. Xin, D. E. Oates et al., Phys. Rev. B **65**, 214533 (2002).
5. Л. П. Горьков, Г. М. Элиашберг, ЖЭТФ **54**, 612 (1968).
6. D. Agassi and D. E. Oates, Phys. Rev. B **72**, 014538 (2005); В. В. Курина, А. А. Уткин, ЖЭТФ **127**, 652 (2005).
7. C. J. van der Beek, M. Konczykowski et al., Phys. Rev. Lett. **74**, 1214 (1995).
8. G. Hampel, B. Batlogg et al., Appl. Phys. Lett. **71**, 3904 (1997).
9. J. Halbritter, J. Supercond. **8**, 691 (1995).
10. E. E. Pestov, V. V. Kurin, and Yu. N. Nozdrin, IEEE Trans. Appl. Supercond. **11**, 131 (2001).
11. A. A. Андronov, Е. Е. Пестов и др., Изв. Вузов. Радиофизика **46** (2), 123 (2003).
12. J. R. Clem and R. P. Huebener, J. Appl. Phys. **51**, 2764 (1980).
13. M. E. Gaevski, A. V. Bobyl, S. G. Konnikov et al., Scanning Microsc. **10**, 679 (1996).
14. D. V. Shantsev, M. E. Gaevski, A. V. Bobyl et al., Phys. Rev. B **60**, 17 (1999).
15. Ю. Н. Ноздрин, Е. Е. Пестов, В. В. Курина, С. В. Барышев и др., ФТТ **12** (2006).
16. X. C. Zeng, D. J. Bergman, P. M. Hui, and D. Stroud, Phys. Rev. B **38**, 10970 (1988).
17. К. К. Лихарев, *Введение в динамику джозефсоновых переходов*, Наука, Москва (1985).
18. Н. М. Плакида, *Высокотемпературные сверхпроводники*, Международная программа образования, Москва (1996).
19. E. B. Sonin and A. K. Nagantsev, Phys. Lett. A **140**, 127 (1989).
20. В. В. Шмидт, *Введение в физику сверхпроводников*, МЦНМО, Москва (1985).